

بررسی اثر پیش فرآوری با قلیا بر ویژگی‌های فیزیکوشیمیایی و رئولوژیکی ژلاتین فیل ماهی ایرانی (بلوگا)

سمیرا صباغ پور^{a*}, علی معتمدزادگان^b, میلاد حیدری^a

^a کارشناس ارشد گروه علوم و صنایع غذایی، واحد علوم و تحقیقات آیت الله آملی، دانشگاه آزاد اسلامی، آمل، ایران

^b استادیار گروه علوم و صنایع غذایی، دانشگاه علوم کشاورزی و منابع طبیعی ساری، ساری، ایران

تاریخ پذیرش مقاله: ۱۳۹۲/۶/۳

تاریخ دریافت مقاله: ۱۳۹۲/۴/۲۵

چکیده

مقدمه: ژلاتین یک بیopolymer مهم کاربردی است که به طور گسترده در مواد غذایی به کار می‌رود. ژلاتین‌های تجاری به دلایل مذهبی و فرهنگی اجتماعی در ادیان اسلام و یهودیت قابل پذیرش نمی‌باشند، به همین دلیل استخراج ژلاتین از ضایعات صنعت فرآوری ماهی به عنوان منبع جایگزین ژلاتین‌های تجاری، اهمیت قابل توجهی پیدا کرده است.

مواد و روش‌ها: به منظور بهینه سازی شرایط استخراج ژلاتین از پوست فیل ماهی ایرانی (*Huso huso*) تأثیر غلظت هیدروکسید سدیم (۰/۰۵-۰/۰۱۰ نرمال) و هیدروکسید کلسیم (۰/۰۷۵-۰/۰۵-۰/۰۱ نرمال) بر بازده استخراج، نقطه ذوب، ویسکوزیته، استحکام ژل، رنگ و وزن ملکولی ژلاتین استخراجی مورد بررسی قرار گرفت.

یافته‌ها: نتایج نشان داد که بیشترین راندمان استخراج ژلاتین از پوست فیل ماهی ایرانی مربوط به هیدروکسید کلسیم ۰/۰۵ نرمال بود، همچنین در بررسی نقطه ذوب مشخص گردید که بالاترین و پایین‌ترین نقاط ذوب (۳۰/۹۸ و ۲۸ درجه سانتی گراد) به ترتیب مربوط به تیمار ۰/۰۵ نرمال و هیدروکسید کلسیم ۰/۰۱ نرمال بود ($p < 0/05$). ویسکوزیته نمونه‌ها با کاهش غلظت قلیا افزایش یافت. در عین حال غلظت هیدروکسید سدیم در مقایسه با غلظت هیدروکسید کلسیم تاثیر بیشتری را بر ویسکوزیته داشت. ($p < 0/05$). بیشترین استحکام ژل (۵۸۲ گرم) در نمونه پیش تیمار شده با هیدروکسید سدیم ۰/۰۱ نرمال دیده شد. در خصوص رنگ، اختلاف معنی‌داری بین تیمارها مشاهده نگردید. با توجه به الگوی الکتروفورز در همه تیمارها زنجیره آلفا دیده شد. غلظت باندهای مربوط به زنجیره های آلفا و بتا در تیمار هیدروکسید کلسیم ۰/۰۷۵ نرمال کمتر از سایر نمونه‌ها بود.

نتیجه‌گیری: نتایج نشان دادند که پیش فرآوری استخراج ژلاتین از پوست ماهی مذکور توسط هیدروکسید سدیم در غلظت ۰/۰۱ نرمال، موجب تولید ژلاتین با ویژگی‌های عملکردی بهتری می‌گردد.

واژه‌های کلیدی: استخراج، پیش فرآوری، زئولوژی، ژلاتین، فیل ماهی

* نویسنده مسئول مکاتبات

ماهی یا بلوگا (*Huso huso*), از راسته تاس‌ماهیان، بزرگترین ماهی دریای خزر است. زیستگاه اصلی این آبزی دریای خزر و دریای سیاه است و همچنین در دریای آدریاتیک هم دیده شده است. این مطالعه به منظور بهینه سازی فرآیند پیش تیمار در غلظت های مختلف هیدروکسید کلسیم و هیدروکسید سدیم برای به دست آوردن بهترین ویژگی فیزیکو شیمیایی مانند (بازدھ، ویسکوزیته، قدرت ژل، نقطه ذوب) برای تولید ژلاتین از پوست ماهی بلوگا طراحی شد.

مواد و روش‌ها

- تهیه پوست ماهی و آماده سازی نمونه

پوست ماهی خاویار گونه بلوگا (*Huso huso*) به صورت منجمد و در دمای -۳۰- -۳۰ درجه سانتی گراد، به عنوان ضایعات سازمان شیلات واقع در شهرستان بابلسر تهیه و تا زمان استفاده در فریزر -۲۰- درجه سانتی گراد و در آزمایشگاه نگهداری شد. بقایای گوشت چسبیده به پوست به صورت دستی حذف و نمونه‌ها تمیز و شسته شدند. پوست‌ها به قطعات ۱×۱ سانتی‌متر مریع در آمدند و در کیسه‌های پلی اتیلن در فریزر -۲۰- درجه سانتی گراد نگهداری شدند.

- فرآیند استخراج ژلاتین از پوست ماهی بلوگا

ژلاتین به روش زووو و رگنسنین با تغییرات اندک در پارامترهای پیش فراوری استخراج شد. فرآیند پیش تیمار قلیایی، جهت حذف پروتئین‌های غیر کلاژنی در سه غلظت و در دامنه غلظت های هیدروکسید سدیم (-۰/۰۱- -۰/۰۵- -۰/۰۷۵ نرمالیته) با حجم ۳ V/W و به مدت ۱ ساعت و در ۴ درجه سانتی گراد انجام شد و بعد از شست و شو با آب، جهت حذف مواد معدنی و املاح از پوست، فرآیند پیش تیمار اسیدی (اسیداستیک) در غلظت (۰/۰۵ نرمالیته) با حجم ۳ V/W و به مدت ۱ ساعت صورت گرفت. مراحل بالا با ۳ بار تکرار انجام شد. ژلاتین از پوست پیش تیمار یافته در آب مقطر به نسبت حجمی (۱:۲/۸) در دمای ۵۰ درجه سانتی گراد و پس از ۷ ساعت، در بن ماری استخراج شد. سپس با عبور از پارچه فیلتر، پرس شده و تحت خلاء تغییط شد. ژلاتین های تغییط شده در دمای ۴ درجه سانتی گراد برای بررسی ویژگی ها نگهداری شدند.

مقدمه

ژلاتین یک ترکیب غذایی پروتئینی خالص با وزن مولکولی بالا و خواص عملکردی با ارزش می‌باشد که از دناتوراسیون حرارتی کلاژن، پروتئین عمده بافت پیوندی حیوانات، بدست می‌آید (Baily *et al.*, 1998). ژلاتین با داشتن خصوصیات منحصر به فرد، کاربردهای فراوانی در صنایع غذایی، دارویی، پزشکی، عکاسی دارد. از این دسته می‌توان به قابلیت تولید ژل، خاصیت چسبندگی، شفاف کنندگی، قوام دهنده‌گی آن اشاره نمود (Gilsenan & Murphy, 2000). ژلاتین را می‌توان از منابع گوناگون کلاژن تولید کرد. استخوان گاو، پوست گاو و پوست خوک (Wasswa *et al.*, 2007). اما در سال‌های اخیر با توجه به شیوع بیماری جنون گاوی و همچنین محدودیت ادیان اسلام و بهود در استفاده از فراورده‌های حاصل از خوک و دام‌هایی که ذبح شرعی بر روی آنها صورت نگرفته، استفاده از پوست و استخوان آبزیان به عنوان منبع تولید ژلاتین، مورد بسیاری قرار گرفته است (Ladislaus *et al.*, 2007). کلاژن حیوانات خونگرم و خونسرد از نظر خواص فیزیکی و شیمیایی از جمله حلالیت، پایداری حرارتی و واکنش پذیری شیمیایی متفاوت هستند (Yata *et al.*, 2001) به همین دلیل روش استخراج کلاژن و تولید ژلاتین از بافت پیوندی پستانداران تا حدی متفاوت از استخراج و تولید ژلاتین از ضایعات ماهی می‌باشد. این امر زمینه مطالعات متعددی را در بررسی خواص عملکردی و فرآوری ژلاتین ماهی فراهم نموده است. کیفیت ژلاتین برای یک کاربرد خاص بستگی زیادی به خواص رئولوژیکی و فیزیکی شیمیایی آن دارد (Gimenez *et al.*, 2005). از همین رو تاکنون مطالعات متعدد دیگری در خصوص شرایط مختلف پیش فرآوری و استخراج ژلاتین از استخوان پولاک آلاسکا (Motamedzadegan *et al.*, 2003)، غضروف کوسه (Cho *et al.*, 2004)، پوست سالمون آتلانتیک (Zhou *et al.*, 2005)، پوست سالمون آتلانتیک (Arnesen *et al.*, 2007)، پوست گربه ماهی Regenestin (Liu *et al.*, 2007)، پوست کپور نقره ای (Boran, 2009) و پوست قزل آلای رنگین کمان (Shahiri Tabarestani *et al.*, 2010) و پوست تریگر خاکستری (Jellouli *et al.*, 2011) صورت پذیرفت. فیل

برای اندازه گیری نقطه ذوب، غلظت ژلاتین در حد ۶/۶٪ (وزنی - حجمی) تنظیم شده سپس ۴ میلی لیتر از این محلول داخل لوله آزمایش کوچکی ریخته شد. لوله آزمایش به مدت ۱۲ ساعت در دمای یخچال (۴-۶ درجه سانتی گراد) قرار داده شدند. سپس ۲ تا ۳ قطره محلول ۵٪ متیل رد - کلروفرم به نمونه ها اضافه شده و نمونه ها داخل بن ماری گذاشته شدند. دمای اولیه آب به کمک یخ به حدود ۴ درجه سانتی گراد رسانیده شد و سپس بن ماری روشن و دما با سرعت ۰/۲ درجه سانتی گراد بر دقيقه افزایش یافت. با افزایش دما تا نقطه ذوب ژلاتین، قطره کلروفرم به پایین لوله آزمایش سقوط می کند که به دلیل وجود متیل رد قابل روئیت خواهد بود. دمایی که قطره کلروفرم سقوط نمود، بر روی هر یک از نمونه ها یادداشت و به عنوان نقطه ذوب گزارش شد.

- تعیین استحکام ژل

استحکام ژل با استفاده از دستگاه بافت سنج، بلوم رئومتر تعیین شد. ژلاتین با غلظت ۳٪ (W/V) در دمای ۴ درجه سانتی گراد نگهداری شد. استحکام ژل بر اساس بلوم و در شرایط دستگاهی زیر اندازه گیری شد: پلانجر (پیستون) استوانه ای تفلونی با قطر ۱۲/۷ میلیمتر، بار ۱۰ کیلو نیوتون، سرعت نفوذ ۱ mm/s و عمق نفوذ ۴ mm (Yang et al., 2007).

(Zhou & Regenstein, 2005).

- اندازه گیری پروتئین به روش لوری

میزان پروتئین نمونه های ژلاتین به روش لوری تعیین شد. میزان جذب نمونه ها با استفاده از دستگاه PG Instruments, T80+UV-VIS, (UK) و در طول موج ۷۵۰ نانومتر قرائت شد و از آلبومین سرم گاوی در غلظت بین ۵ - ۱۰۰ میکرو گرم بر میلی لیتر Lowry,) به عنوان پروتئین استاندارد استفاده گردید (1951).

- تعیین بازده استخراج

راندمان استخراج ژلاتین بر اساس حجم محلول صاف شده ژلاتین تولیدی بعد از پرس و غلظت پروتئین آن و طبق فرمول زیر محاسبه شد: (Yang et al., 2007)

$$\%Yield = \frac{C \times V}{M} \times 100$$

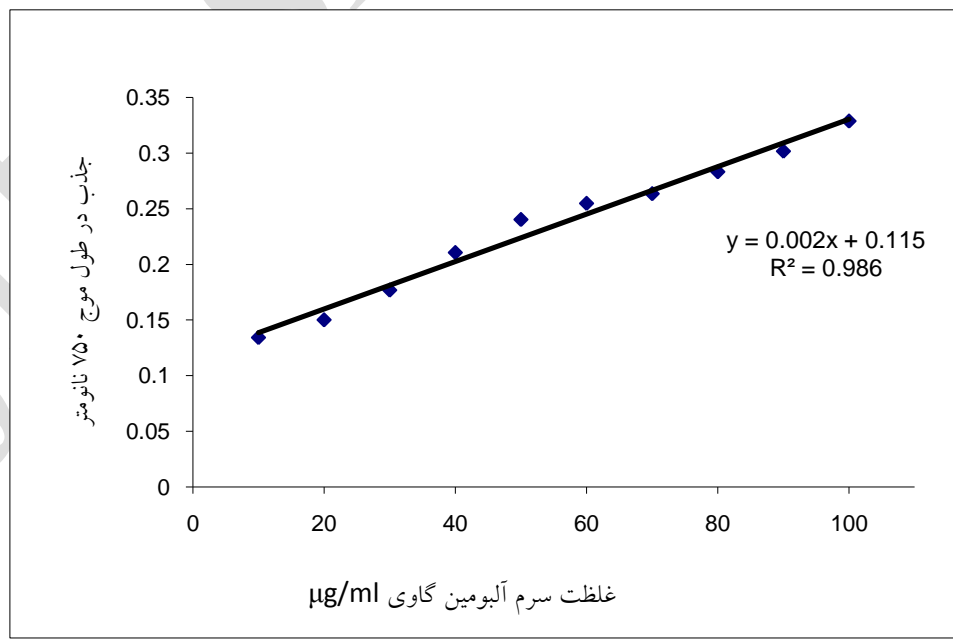
C = غلظت پروتئین (mg/ml)

V = حجم ژلاتین استخراج شده (mg)

M = وزن نمونه پوست ماهی اولیه

- اندازه گیری نقطه ذوب

طبق استاندارد انگلیس به شماره (BS/755, 1975)



شکل ۱- منحنی استاندارد روش لوری

مدت نیم ساعت، در مقدار کافی ۱٪ محلول رنگ آمیزی و سپس به مدت ۲۴ ساعت در محلول رنگبر تعویض گردید تا زمینه ژل شفاف گردد و باندهای پروتئینی بهوضوح دیده شوند (Laemmli, 1970).

- تجزیه و تحلیل آماری

برای همه‌ی آزمایش‌های انجام شده سه تکرار در نظر گرفته شد. نتایج به صورت مقادیر میانگین بیان شده‌اند. اختلاف بین مقادیر در نمونه‌ها با استفاده از آنالیز واریانس یک‌سویه (¹ANOVA) در سطح آماری ($P < 0.05$) آنالیز و معنی‌دار گردید و آنالیز‌های ذکر شده توسط نرم افزار SPSS (version 18.0) انجام گرفت و برای رسم نمودارها از نرم‌افزار EXCEL استفاده گردید.

یافته‌ها

نتایج اثر قلیا بر روی بازده استخراج، نقطه ذوب، ویسکوزیته، قدرت ژل به ترتیب در نمودارهای ۱، ۲، ۳ و ۴ ارائه گردیده است. در جدول ۱ اثر غلاظت قلیا بر روی رنگ نشان داده شده است. در شکل ۲ الگوی الکتروفورز ژلاتین فیل ماهی در شرایط مختلف پیش فرآوری منعکس گردیده است.

بحث

با مقایسه بررسی نقطه ذوب در شرایط پیش فرآوری مختلف در نمونه‌های مورد بررسی، بیشترین نقطه ذوب در تیمار هیدروکسیدسیدیم ۰/۰۱ نرمال مشاهده شد (نمودار ۱). در این پژوهش نیز، نشان داده شده که با کاهش غلاظت هیدروکسیدسیدیم و هیدروکسیدکلسیم، نقطه ذوب بالا رفته که ناشی از افزایش میزان هیدروکسی پرولین در ژلاتین‌های استحصالی می‌باشد. این اسید آمینه پیوندهای هیدروژنی را کاهش داده و درجه حرارت ژلاتیناسیون و نقطه ذوب را افزایش می‌دهد. با این وجود این نتایج اندکی در مقایسه با ژلاتین قزل آلای رنگین کمان متفاوت است، جایی که نقطه ذوب با افزایش غلاظت قلیا در محدوده ۰/۰۱ - ۰/۲ نرمال افزایش یافت (Shahiri *et al.*, 2010).

نقطه ذوب ژلاتین پوست فیل ماهی در نقطه بهینه ۳۰/۹۸

- اندازه‌گیری ویسکوزیته

اندازه‌گیری ویسکوزیته با استفاده از ویسکومتر لوله ای استوالد انجام شد. نمونه مورد استفاده برای تعیین استحکام بلوم ژل (۶/۶۷٪) در یک حمام آب ۴۰ درجه سانتی گراد ذوب شد و پس از آن به داخل ویسکومتر ریخته شد. قبل از اندازه‌گیری ویسکوزیته، ویسکومتر در حمام آب در ۴۰ درجه سانتی گراد به مدت ۱۵ دقیقه نگهداری شد. (قیبرزاده، ۱۳۸۸)

$$\mu = K(t - \theta)$$

μ : میزان ویسکوزیته

K : عدد ثابت

t : زمان عبور سیال

θ : عدد ثابت

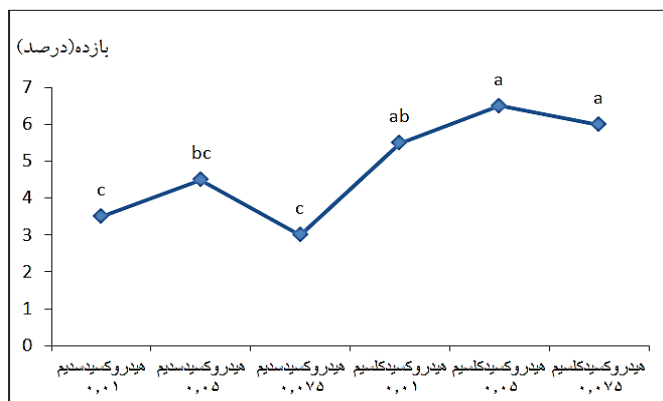
- رنگ

در این تحقیق، فاکتورهای L^* , a^* , b^* در نمونه‌های ژلاتین مایع (۳٪ W/V) با استفاده از دستگاه Hunter Associates Laboratory Inc., (Reston, VA, USA) بر مبنای روش تعیین شده در استاندارد سنجیده شد. فاکتور L^* به عنوان معیار روشنی رنگ، a^* قرمزی رنگ، b^* زردی رنگ را مشخص می‌کند (Jamilah & Harvinder, 2002).

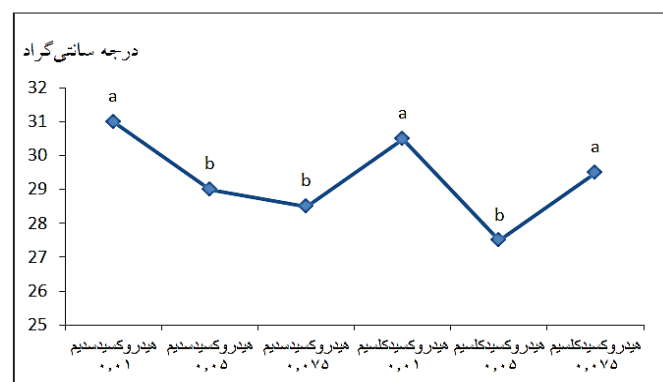
- آماده سازی نمونه و اجرای الکتروفورز

غلاظت ژلاتین بعد از سانتریفیوژ، به میزان ۲ mg/ml با آب مقطر تنظیم و به نسبت ۱:۱ (V/V) با بافر نمونه و به کمک ورتكس مخلوط شد. بعد از دناتوراسیون حرارتی مخلوط (به حجم ۱ میلی لیتر) به مدت ۵ دقیقه در ۹۰ درجه سانتی گراد، میکروتیوب‌ها به مدت ۲۰ دقیقه سانتریفیوژ شده و ۱۵ µl از مخلوط نمونه ژلاتین و بافر نمونه و ۳۰ µl از مارکر (استاندارد) با استفاده از سرنگ میکرو به چاهک‌ها تزریق شده، سپس کابل‌ها به الکترود مربوطه وصل و الکتروفورز در ولتاژ ثابت ابتدایی ۵۰ mv و سپس ۷۰ mv انجام شد. زمانی که رنگ به یک سانتی متری انتهای شیشه رسید، جریان برق را قطع کرده و قالب شیشه ای از تانک الکتروفورز جدا شد. بعد از جدا کردن دو شیشه، ژل بالا را از ژل پایین جدا کرده و آن را دور می‌اندازیم. ژل پایین را به

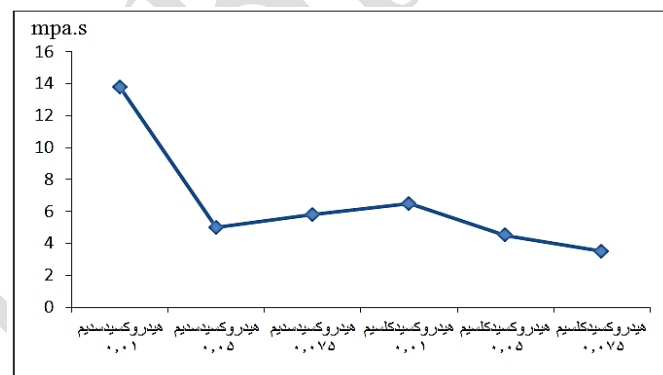
¹ One-way analysis of variance



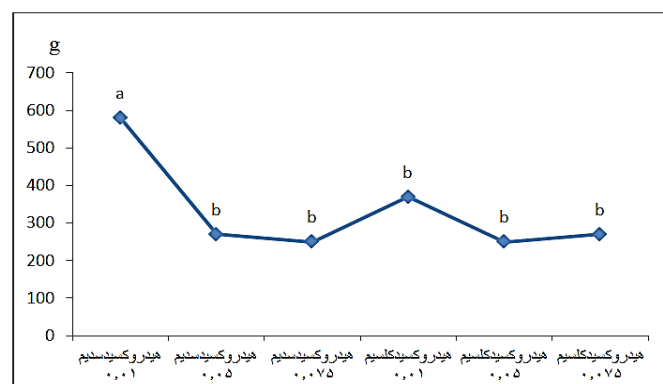
نمودار ۱ - اثر غلظت قلیاهای بر بازده استخراج در تیمارهای مختلف



نمودار ۲ - اثر غلظت قلیاهای بر نقطه ذوب در تیمارهای مختلف



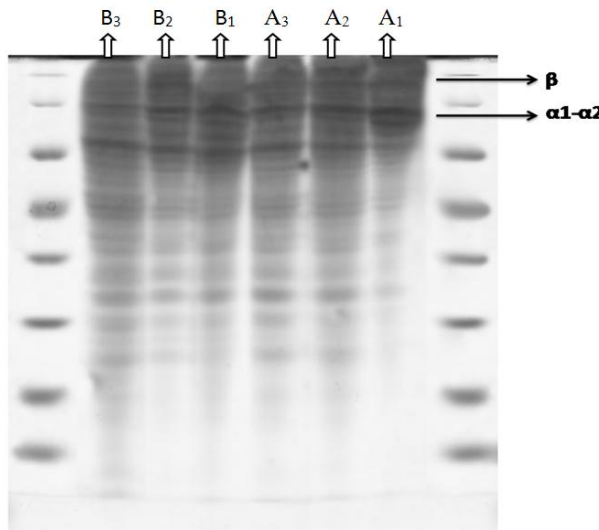
نمودار ۳ - اثر غلظت قلیاهای بر ویسکوزیته در تیمارهای مختلف



نمودار ۴ - اثر غلظت قلیاهای بر استحکام ژل در تیمارهای مختلف

جدول ۱- اثر غلظت قلیاها بر رنگ ژلاتین

رنگ ژلاتین			تیمارهای مختلف
L*	b*	a*	
۴۰/۶۹	۸/۸۵	-۴/۱۲	هیدروکسید سدیم ۰/۰۱
۳۳/۶۵	۱۰/۱۱	-۳/۱۷	هیدروکسید سدیم ۰/۰۵
۴۴/۷۹	۸/۹۷	-۴/۵۹	هیدروکسید سدیم ۰/۰۷۵
۳۵/۲۲	۸/۰۵	-۳/۴۳	هیدروکسید کلسیم ۰/۰۱
۳۱/۷۷	۵/۶۷	-۲/۶۸	هیدروکسید کلسیم ۰/۰۵
۳۸/۲۵	۸/۰۸	-۳/۷۶	هیدروکسید کلسیم ۰/۰۷۵



شکل ۲- الگوی الکتروفورز ژلاتین فیل ماهی در شرایط مختلف پیش فرآوری

A₁: هیدروکسید سدیم ۰/۰۱ A₂: هیدروکسید سدیم ۰/۰۵ A₃: هیدروکسید سدیم ۰/۰۷۵

B₁: هیدروکسید کلسیم ۰/۰۱ B₂: هیدروکسید کلسیم ۰/۰۵ B₃: هیدروکسید کلسیم ۰/۰۷۵ نرمال

به عنوان فاکتور مطلوب در هنگام بهینه‌سازی، در نظر گرفته شده است.

با بررسی اثر غلظت‌های مختلف هیدروکسید سدیم و هیدروکسید کلسیم بر روی بازده استخراج در نمونه‌های مورد بررسی مشاهده گردید که راندمان استخراج در غلظت‌های مختلف هیدروکسید کلسیم بیشتر از غلظت‌های هیدروکسید سدیم می‌باشد (نمودار ۲). سود نقش منفی بر روی بازده استخراج داشته و حجم محلول ژلاتین استحصالی کاهش می‌یابد. این نتیجه در تطبیق با نتایج گزارش شده توسط (Cho et al., 2005) می‌باشد. به گزارش نالینانون و همکاران، افزایش زمان پیش تورم بطور مستقیم با بازده استخراج در ارتباط است. با توجه به نمودارهای ۱ و ۲ مشاهده می‌گردد که بین بازده استخراج و نقطه ذوب رابطه معکوس وجود دارد. نمونه با بالاترین نقطه ذوب، پایین ترین راندمان را دارد. ویسکوزیته دومین خاصیت مهم فیزیکی و تجاری

درجه سانتی گراد برآورد شده است که بیشتر از مقادیر گزارش شده برای پوست قزل آلای رنگین کمان ۲۳ درجه سانتی گراد (shahiri et al., 2010)، پوست کاد ۱۰-۸ درجه سانتی گراد (Gudmundsson et al., 1997)، هیک Gomez- ۱۴ درجه، مگریم ۸/۱۸ درجه سانتی گراد (Guillén et al., 2005) و کپور علفخوار ۵/۱۹ درجه سانتی گراد (Ladislaus et al., 2007) می‌باشد. نقطه ذوب ژلاتین استخراج شده از پوست گاو و خوک نیز به Choi et al., 2000 درجه سانتی گراد می‌باشد (Choi et al., 2000) که پایین تر از نقطه ذوب ژلاتین در این تحقیق می‌باشد. نقطه ذوب بالای ژلاتین در این تحقیق می‌تواند مرتبط با مقدار بالای ایمینواسیدهای آن باشد (Choi et al., 2000). با توجه به این که نقطه ذوب یکی از ویژگی‌های مهم ژلاتین می‌باشد و بالا بودن نقطه ذوب محدوده کاربرد ژلاتین بویژه در فرآوردهای غذایی را افزایش می‌دهد بنابراین در تحقیق حاضر، نقطه ذوب بالا

ژلاتین ندارد. با بررسی الگوی الکتروفورز نمونه‌های ژلاتین تحت شرایط مختلف پیش فرآوری، در تمامی نمونه‌ها زنجیره‌های الفا ۱ والفا ۲ و بتا مشاهده گردید. در وزن مولکولی ۱۵۰ کیلو دالتون در تمامی تیمارها باند واضحی دیده شد. این امر حضور زنجیره‌های الفا ۱ و ۲ را در همه تیمارها نشان می‌دهد. با کاهش غلظت قلیا، میزان زنجیره‌هایی با وزن مولکولی بالا افزایش یافت (شکل ۱). در همه تیمارها باندهایی با وزن مولکولی بالاتر الفا ۱ مشاهده گردید. این امر در هیدروکسید سدیم ۰/۰۱ نرمال بیشتر نمود پیدا کرد. در این تیمار، زنجیره‌هایی بتا در محدوده ۲۰۰ کیلو دالتون دیده شدند. این امر روند افزایش ویسکوزیته در این تیمار را تایید می‌کند. در تیمار هیدروکسید کلسیم ۰/۰۷۵ نرمال زنجیره‌هایی با وزن مولکولی بالا بسیار کم دیده می‌شود. در نمونه‌هایی با نقطه ذوب بالا، زنجیره‌های الفا ۱ و الفا ۲ بیشتری دیده شد. بالا بودن نقطه ذوب در ژلاتین با وزن زنجیره‌های مولکولی آن در ارتباط است (Ward *et al.*, 1977).

نتیجه‌گیری

با توجه به نتایج حاضر، بهترین قلیا برای استخراج ژلاتین از پوست فیل ماهی ایرانی شامل هیدروکسید سدیم ۰/۰۱ نرمال بود و نمونه ژلاتین تولید شده در این شرایط، مقدار مطلوبی از بازده استخراج و همچنین نقطه ذوب، ویسکوزیته و استحکام ژل بالایی داشت. با توجه به نتایج بدست آمده در این پژوهش پوست فیل ماهی ایرانی می‌تواند به طور مطلوبی برای تولید ژلاتین مورد استفاده قرار گیرد.

منابع

- قبرزاده، م. (۱۳۸۸). مبانی رئولوژی مواد و بیوپلیمرهای غذایی. انتشارات دانشگاه تهران، صفحات ۲۲۶-۲۳۱.
- Arnesen, J. A. & Gildberg, A. (2007). Extraction and characterisation of gelatine from Atlantic salmon (*Salmo salar*) skin. *Journal of Food Science*, 98, 53-57.
- Bailey, A. J., Paul, R. G. & Knott, L. (1998). Mechanisms of maturation and ageing of collagen. Mechanisms of Ageing and Development. *Food Hydrocolloids*. 106, 1-56.

ژلاتین است (Wasswa *et al.*, 2007). در این تحقیق ویسکوزیته ژلاتین استخراج شده از پوست ماهی بلوگا در دمای ۴۰ درجه سانتی‌گراد و غلظت ۳٪ (w/v) در محدوده ۱۴/۱۳-۳/۱۳ قرار دارد. بر اساس شکل ۳ میزان بهینه ویسکوزیته ۱۱/۱۳ mpa.s براورد شده، که این میزان در شرایط پیش فرآوری پوست با هیدروکسید سدیم ۰/۰۱ نرمال تخمین زده شده است. مقادیر ویسکوزیته ژلاتین تجاری بین ۷ تا ۱۳ mpa.s بری اکثر ژلاتین‌ها و بالای ۱۳ mpa.s برای انواع خاص است (Schrieber *et al.*, 2007). در روند ویسکوزیته، پیوندهای هیدروژنی نقش مهمی داشته و باعث افزایش آن می‌گردد. همچنین فراکسیون زنجیره‌های با وزن مولکولی بالا با افزایش ویسکوزیته همراه است (Burrows & Rowlands, 2000). در این پژوهش مشاهده گردید که با افزایش غلظت قلیاها میزان ویسکوزیته کاهش می‌یابد (نمودار ۳).

قدرت ژل مهمترین ویژگی کیفی ژلاتین برای استفاده در صنایع مختلف می‌باشد (Regenestin & Zhou, 2005). مطالعات متعددی وجود دارد که قدرت ژل ژلاتین استخراج شده از گونه‌های مختلف را گزارش می‌کنند اما معمولاً به دلیل اختلاف در نحوه آماده‌سازی نمونه‌ها، روش اندازه‌گیری قدرت ژل، دمای اندازه‌گیری و تجهیزات مورد استفاده، برخی از نتایج قابل مقایسه با یکدیگر نیستند (Regenstein & Boran, 2009). در این پژوهش بالاترین قدرت ژل اندازه‌گیری شده ۵۸۲ گرم بود که در تیمار هیدروکسید سدیم ۰/۰۱ مشاهده شد، با افزایش غلظت قلیاها قدرت ژل کاهش یافت (نمودار ۴). همچنین قدرت ژل کاهش گزارش کرده اند که افزایش غلظت قلیا از ۱٪ تا ۲٪ موجب افزایش و در غلظت‌های بالاتر از ۲٪ موجب کاهش قدرت ژل ژلاتین پوست تن زرد باله خواهد شد. (Noomhorm & Wangtueai, 2009) نیز در بررسی قدرت ژل ژلاتین فلس مارمولک ماهی (*Saurida spp*) گزارش داده اند که افزایش غلظت هیدروکسید سدیم از ۰/۵ تا ۰/۹٪ موجب کاهش قدرت ژل شده است.

در جدول ۱ به ترتیب تأثیر غلظت‌های مختلف قلیاها را بر قرمزی، زردی و روشنی ژلاتین های تولیدی را نشان می‌دهند. بر اساس جدول ۱ غلظت‌های مختلف قلیاها تأثیر معنی‌داری در قرمزی و زردی و روشنایی رنگ نمونه‌های

- Boran, G. & Regenstein, J. M. (2009). Optimization of Gelatin Extraction from Silver Carp Skin. *Journal of Food Science*, 74,432-441.
- BS 755. (1975). British Standards Institution Specification for Gelatin. Pentonville Rd, London, UK.
- Cho, S. M. Gu, Y. S. & Kim, S. B. (2005). Extracting optimization and physical properties of yellowfin tuna (*Thunnus albacares*) skin gelatin compared to mammalian gelatins. *Food Hydrocolloids*, 19,221-229.
- Cho, S. M., Kwak, K. S., Park, D. C., Gu, Y. S., Ji, C. I., Jang, D. H., Lee, Y. B. & Kim, S. B. (2004). Processing optimization and functional properties of gelatin from shark (*Isurus oxyrinchus*) cartilage. *Food Hydrocolloids*, 18,573-579.
- Choi, S. S. & Regenstein, J. M. (2000). Physicochemical and sensory characteristics of fish gelatin. *Journal of Food science*, 65(2), 194-199.
- Gilsenan, P. M., Ross-Murphy, S. B. & Rheol, J. (2000). 44, 871-83.
- Giménez, B., Gómez-Guillén, M. C. & Montero, P. (2005). The role of salt washing of fish skins in chemical and rheological properties of gelatin extracted. *Food Hydrocolloids*, 19,951-975.
- Go'mez-Guille'n, M. C., Turnay, J., Fernández-Díaz, M. D., Ulmo, N., Lizarbe, M. A. & Montero, P. (2002). Structural and physical properties of gelatin extracted from different marine species: A comparative study. *Food Hydrocolloids*, 16, 25-34.
- Gudmundsson, M. & Hafsteinsson, H. (1997). Gelatin from cod skins as affected by chemical treatment. *Journal of Food science*, 62, 37-39.
- Jellouli, K., Balti, R., Bougatef, A., Hmidet, N., Barkia, A. & Nasri, M. (2011). Chemical composition and characteristics of skin gelatin from grey triggerfish (*Balistes capriscus*). *Food Science and Technology*, 44, 1965-1970.
- Ladislau, M. K., Yan, X., Yao, W., Sun, D. H. & Qian, H. (2007). Optimization of gelatine extraction from grass carp (*Ctenopharyngodon idella*) fish skin by response surface methodology. *Bioresource Technology*, 98, 3338-3343.
- Laemmli, U. K. (1970). Cleavage of structural proteins during the assembly of the head of bacteriophage T4. *Nature* 227, 680-685.
- Liu, H. Y., Li, D. & Guo, S. (2007). Studies on collagen from the skin of channel catfish (*Ictalurus punctatus*). *Food Chemistry*, 101,621-625.
- Lowry, O. H., Rosebrough, N. J., Farr, A. L. & Randall, R. J. (1951). Proteinmeasurment with the folin phenol reagent. *Journal of Biological Chemistry*, 177,751-766.
- Motamedzadegan, A. & Regenstein, J. M. (2003). Extraction and characterization of gelatin from Alaska Pollock bone. *12th IUFoST conference*, 18-20 July.
- Row lands, A. G. & Burrows, D. J. (2000). Enzyme method of manufacturing gelatin. *US patent*, PN, 6,100-381.
- Schrieber, R. & Gareis, H. (2007). Gelatine handbook. Wiely-VCH Verlag GmbH & Co. KGaA, Weinheim. Pp: 163-218.
- Shahiri Tabarestani, H., Maghsoudlou, Y., Motamedzadegan, A. & Sadeghi Mahoonak, A. R. (2010). Optimization of physico-chemical properties of gelatin extracted from fish skin of rainbow trout (*Onchorhynchus mykiss*). *Bioresource Technology*. 101, 6207-6214.
- Ward, A. G. & Courts, A. (1977). The science and technology of gelatin.academic press.
- Wangtueai, S. & Noomhorm, A. (2009). Processing optimization and characterization of gelatin from lizardfish (*Saurida spp.*) scales. *LWT-Food Science and Technology*, 42,825-834.
- Wasswa, J., Tang, J. & Gu, X. (2007). Utilization of Fish Processing By-Products in the Gelatin Industry. *Food Reviews International*, 23, 156-174.
- Yang, H., Wang, Y., Jiang, M., Oh, J. H., Herring, J. & Zhou, P. (2007). 2-step optimization of the extraction and subsequent physical properties of channel catfish (*Ictalurus punctatus*) skin gelatin. *Journal of Food Science*, 72, 188-195.
- Yata, M., Yoshida, C., Fujisawa, S., Mizuta, S. & Yoshinaka, R. (2001). Identification and characterization of molecular species of collagen in fish skin. *Journal of Food science*, 6, 247-251.
- Zhou, P. & Regenstein, M. (2005). Effects of Alkaline and Acid Pretreatments on Alaska Pollock Skin Gelatin Extraction. *Food Chemistry and Toxicology*, 70, 392-396.

